
Capítulo 8

Fluxo de carga c.a/c.c.

8.1 Introdução

- ▶ Um sistema de transmissão em corrente contínua (c.c.) que interliga dois sistemas de corrente alternada (c.a.) é chamado de **elo de corrente contínua** (elo c.c., do Inglês DC link).
- ▶ O primeiro sistema de transmissão de energia elétrica comercial usando HVDC (High Voltage Direct Current) foi o link de 98 km entre a Suécia continental e a ilha Gotland (Suécia) em 1954.

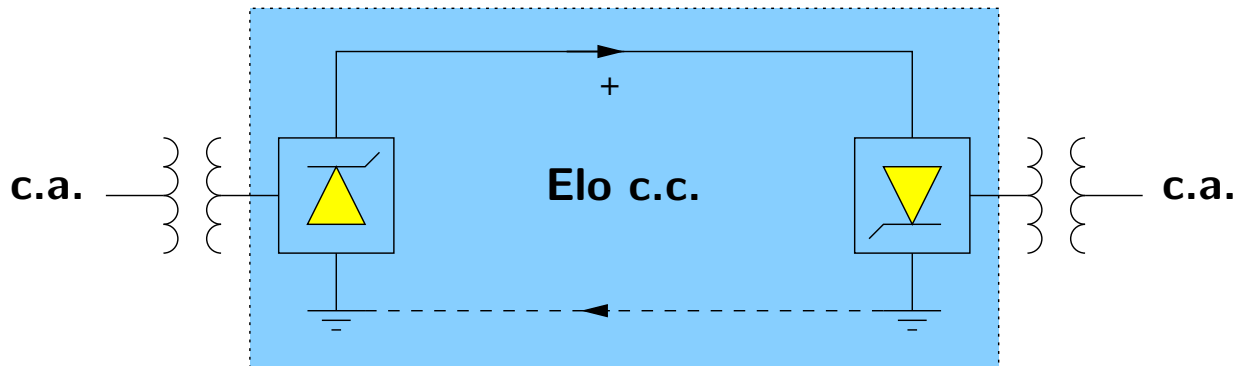
O link operava em 100 kV, transmitindo 20 MW de potência.

A justificativa para a implantação do link foi econômica: eliminação da construção de uma nova central térmica na ilha.

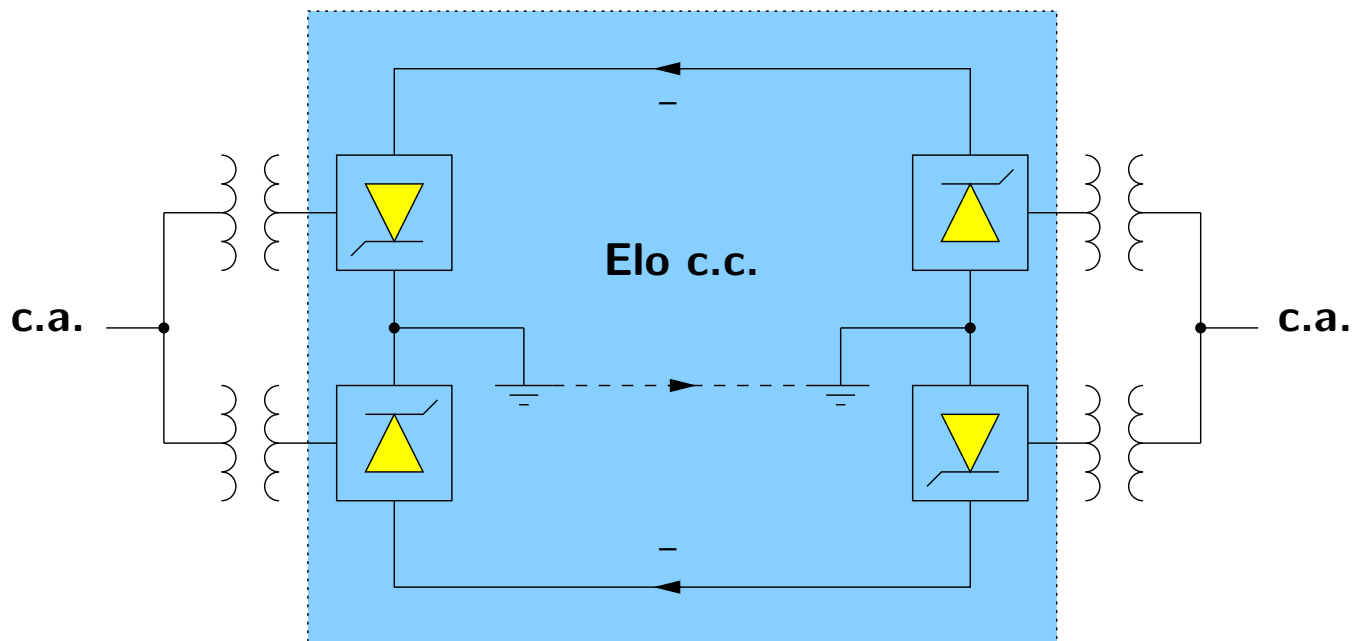
- ▶ Desde então as potências e as tensões de operação de links c.c. aumentaram muito (por exemplo, 6000 MW e ± 600 kV).
- ▶ Utilização de HVDC:
 - transmissão submarina.
 - transmissão aérea em longas distâncias.
 - amortecimento de oscilações (melhora da estabilidade).
 - interligação de sistemas com frequências diferentes.
 - transmissão em longas distâncias em áreas metropolitanas.

8.2 Tipos de elos c.c.

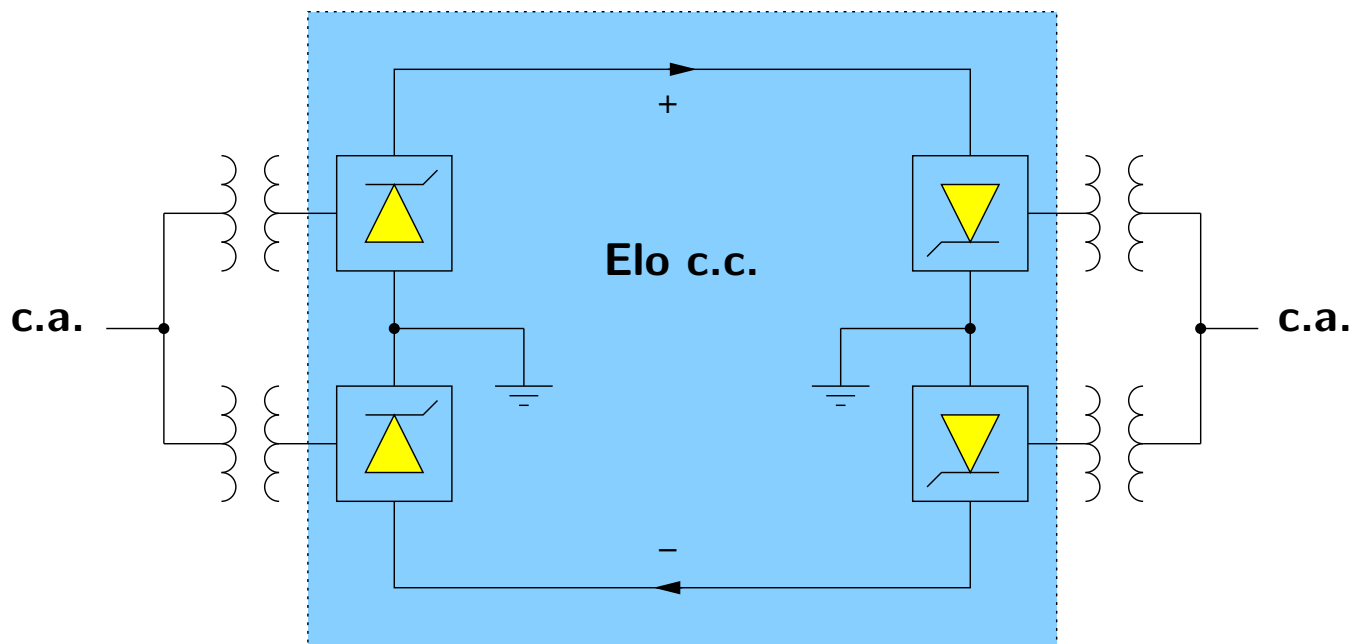
- **Elo monopolar:** terra é usada como retorno de corrente.



- **Elo homopolar:** condutores com mesma polaridade (normalmente negativa) e retorno de corrente pela terra.



- ▶ **Elo bipolar:** um condutor com tensão positiva e outro com negativa. A terra não é usada como retorno de corrente em condições normais de operação (em emergências isso pode ocorrer). Conversores ligados em série em cada lado.



8.3 Considerações sobre a transmissão em c.c.

8.3.1 Vantagens da transmissão em c.c.

- ▶ **Menor número de condutores**

Torres menores e mais baratas

Menores perdas

Menor nível de isolamento.

► **Comparação entre um sistema c.a. trifásico e um elo c.c. bipolar:**

■ **Potência c.a. (considerando fator de potência unitário)**

$$P_{ca} = \sqrt{3} V_l I_l$$

Potência c.c.

$$P_{cc} = 2 V_d I_d$$

Para o sistema c.c. V_d é constante e, portanto, corresponde ao valor máximo:

$$V_d = V_{cc}^{\max}$$

Como o valor de pico da tensão de fase é $\sqrt{2}$ vezes maior que o respectivo valor eficaz (rms), tem-se:

$$V_l = \frac{\sqrt{3}}{\sqrt{2}} V_{ca}^{\max}$$

Considere que $V_{ca}^{\max} = V_{cc}^{\max}$ e que as potências transmitidas sejam as mesmas:

$$\begin{aligned} P_{ca} &= P_{cc} \\ \sqrt{3} V_l I_l &= 2 V_d I_d \\ \sqrt{3} \frac{\sqrt{3}}{\sqrt{2}} V_{ca}^{\max} I_l &= 2 V_{cc}^{\max} I_d \\ \frac{3}{2\sqrt{2}} I_l &= I_d \end{aligned}$$



$$I_d = 1,06 I_l$$

Perdas c.a.

$$P_{ca}^p = 3 I_\ell^2 R_\ell$$

Perdas c.c.

$$P_{cc}^p = 2 I_d^2 R_\ell$$

Para uma mesma resistência de linha R_ℓ e considerando a relação entre as correntes, tem-se:

$$P_{ca}^p = 1,33 P_{cc}^p$$

As perdas em c.a. são 33% maiores que as perdas c.c. para uma mesma potência transmitida.

- Considerando agora que as perdas sejam as mesmas:

$$3 I_\ell^2 R = 2 I_d^2 R$$
$$I_d = \sqrt{\frac{3}{2}} I_\ell$$

Para mesma potência transmitida ($P_{ca} = P_{cc}$) e considerando a relação entre as correntes:

$$V_d = \sqrt{\frac{3}{2}} \frac{V_\ell}{\sqrt{3}} = \sqrt{\frac{3}{2}} V_f$$

Em termos das tensões máximas:

$$\begin{aligned} V_{cc}^{\max} &= \sqrt{\frac{3}{2}} \frac{V_{ca}^{\max}}{\sqrt{2}} \\ &= 0,87 V_{ca}^{\max} \end{aligned}$$

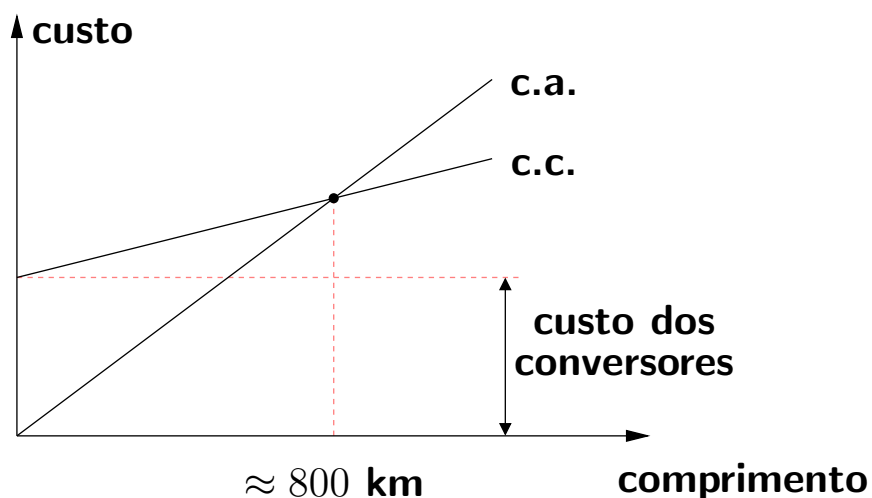
A tensão c.c. é menor para mesmas perdas e mesma potência transmitida. Logo, o nível de isolamento em c.c. é menor que em c.a.

8.3.2 Análise de custos

- ▶ A linha c.c. é mais barata que a linha c.a.: menos condutores, torres mais simples, menor nível de isolamento.

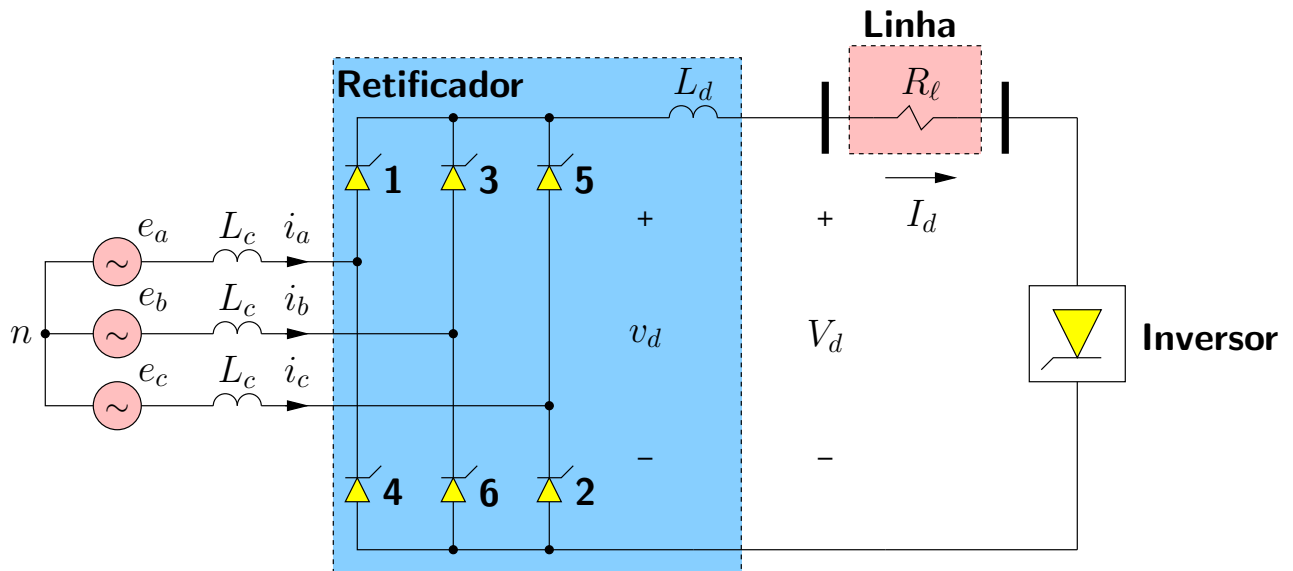
Porém, são também necessárias as estações conversoras (c.a./c.c. e c.c./c.a.), que são muito caras.

- ▶ A linha c.a. tem preço por km aproximadamente constante.
- ▶ A decisão sobre qual sistema adotar (c.a. ou c.c.) sob o ponto de vista de custos depende basicamente do comprimento da linha:



8.4 Conversores – visão geral

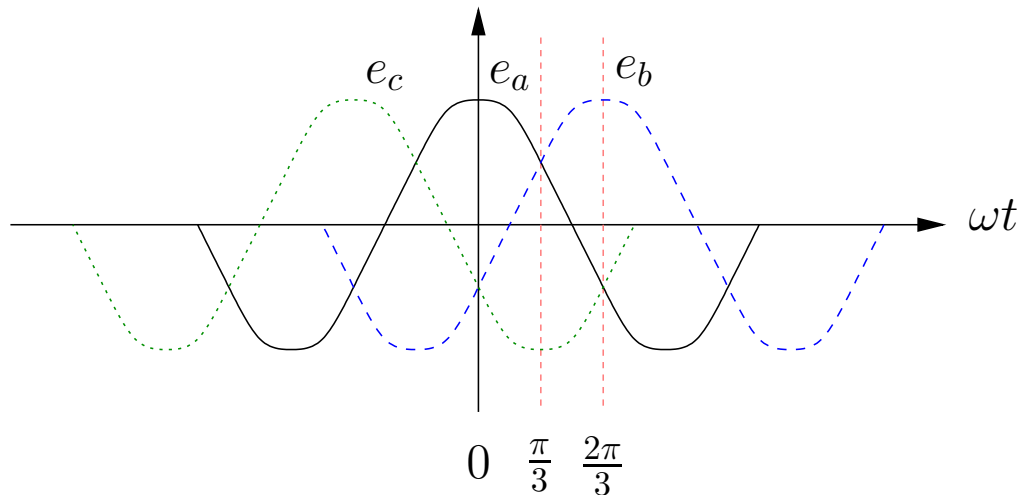
- ▶ Configurações de conversores: monofásico ou trifásico, meia-onda ou onda completa.
- ▶ Conversor trifásico de 6 pulsos (onda completa, Graetz):



- ▶ Descrição dos elementos do circuito e hipóteses simplificadoras:
 - L_c : indutância de dispersão do conjunto gerador – transformador.
Na verdade, a fonte de tensão trifásica em série com a indutância L_c podem representar o circuito equivalente de Thévenin do sistema c.a.
 - R_l : resistência da linha de transmissão (demais parâmetros da linha são desprezados em c.c.).
 - L_d : reator de alisamento (alta indutância, da ordem de 1 H). Considera-se $L_d \rightarrow \infty$ na análise, o que garante uma corrente I_d constante (a tensão de saída do conversor não é constante, mas apresenta um ripple).
 - A alimentação c.a. é feita através de rede trifásica equilibrada e senoidal.

- As válvulas do conversor apresentam resistência nula no sentido de condução e resistência infinita no sentido oposto.
- A ignição das válvulas é feita pelos gates e ocorrem a intervalos de tempo iguais. No caso tem-se 6 válvulas, portanto, elas são disparadas a cada 60° ($1/6$ de ciclo de tensão).
- A comutação é instantânea (uma válvula interrompe e outra conduz instantaneamente).

▶ e_a , e_b e e_c são as tensões de fase aplicadas ao conversor. O valor de pico das tensões de fase é E_m :

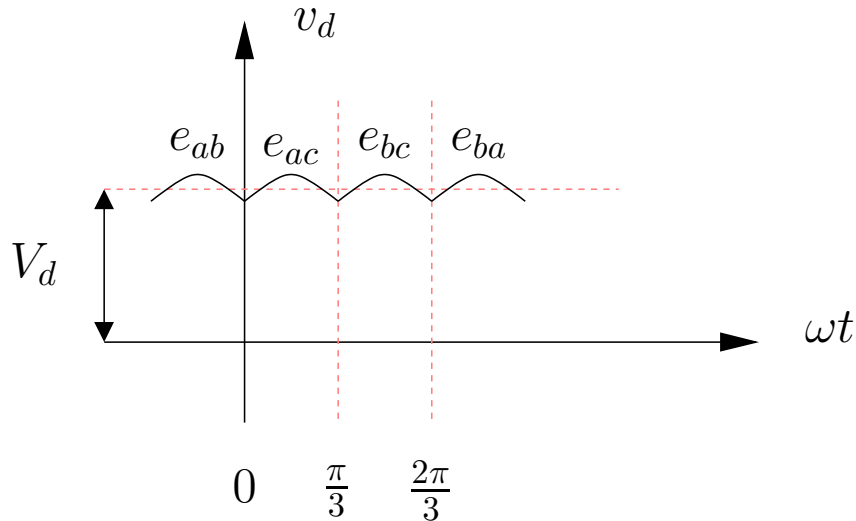


- ▶ A análise a seguir será feita para a operação da ponte sem controle de ignição dos tiristores (tiristores comportando-se como diodos). O controle de ignição será incluído adiante.
- ▶ Dois tiristores conduzem por vez: aquele cuja tensão no **catodo** é a **maior** e aquele cuja tensão no **anodo** é a **menor**.

No intervalo $0 \leq \omega t \leq \pi/3$ a maior tensão é e_a , logo, o tiristor 1 conduz. A menor tensão é e_c , logo, o tiristor 2 também conduz. A tensão v_d será:

$$v_d = e_{ac} = e_a - e_c$$

O mesmo tipo de raciocínio vale para os outros intervalos (de 60° em 60°). A tensão v_d será:



cujo valor médio é:

$$V_d = \frac{3\sqrt{2}}{\pi} V_\ell = \frac{3\sqrt{3}}{\pi} E_m \approx 1,65 E_m$$

em que V_ℓ é a tensão de linha no secundário do transformador.

Este valor de tensão V_d é normalmente denominado V_{do} , pois é associado a um ângulo de atraso (no disparo dos tiristores) nulo ($\alpha = 0$).

- ▶ Com controle de ignição, ou seja, com ângulo de atraso não nulo ($\alpha \neq 0$):

$$V_d = V_{do} \cos \alpha$$

- ▶ A faixa de variação do ângulo de ignição é de 0 a 180°. De 0 a 90°, V_d assume valores positivos. De 90° a 180°, V_d é negativo. Neste último caso, como o sentido da corrente não pode mudar, a ponte passa a operar como inversor.

- ▶ Pode-se mostrar que, sendo α o ângulo de ignição e ϕ o ângulo de defasagem entre tensão e corrente no secundário do transformador, $\cos \phi = \cos \alpha$. Ou seja, um ângulo de ignição maior implica em um fator de potência menor, explicando o fato do conversor consumir potência reativa.

São colocados capacitores ou condensadores síncronos no lado c.a. para o fornecimento da potência reativa necessária.

- ▶ A comutação não é de fato instantânea, mas leva um certo tempo para ocorrer. Por exemplo, para $\omega t = \pi/3$ o tiristor 1 deixa de conduzir, passando o tiristor 3 a conduzir. Essa transição não é instantânea. Os tiristores 1 e 3 conduzem simultaneamente por um certo tempo, e este fato é denominado overlap. Isso implica em uma diminuição de V_d :

$$\begin{aligned} V_d &= \frac{V_{do}}{2} [\cos \alpha + \cos (\alpha + \mu)] = \frac{3\sqrt{2}V_\ell}{2\pi} [\cos \alpha + \cos (\alpha + \mu)] \\ &= V_{do} \cos \alpha - R_c I_d \end{aligned}$$

em que V_ℓ é a tensão de linha no secundário do transformador e μ é o ângulo de comutação (a comutação ocorre durante um tempo μ/ω). Define-se o ângulo de extinção $\delta = \alpha + \mu$.

A resistência de comutação é dada por:

$$R_c = \frac{3\omega L_c}{\pi} = \frac{3X_c}{\pi} = 6fL_c$$

e, embora seja considerada como resistência para efeitos de queda de tensão, não consome potência ativa.

A corrente na linha é:

$$I_d = \frac{V_\ell}{\sqrt{2}X_c} [\cos \alpha + \cos (\alpha + \mu)]$$

em que $X_c = \omega L_c$.

► A corrente de linha (rms) no secundário do transformador é:

$$I_\ell = \sqrt{\frac{2}{3}} I_d$$

► A corrente no secundário do transformador é dada ainda por:

$$I_\ell = I_p + j I_q$$

em que:

$$I_p = \frac{\sqrt{6} I_d}{\pi} \left| \frac{\cos \alpha + \cos(\alpha + \mu)}{2} \right|$$

e:

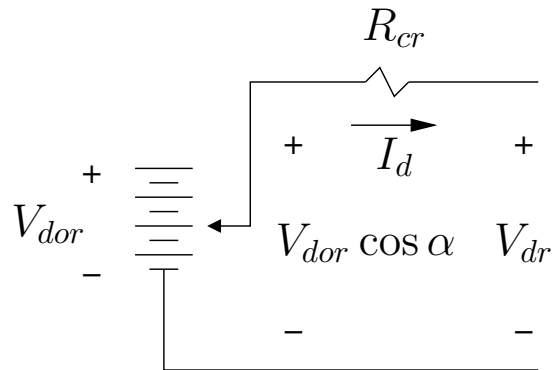
$$I_q = \frac{\sqrt{6} I_d}{\pi} \left| \frac{2\mu + \sin 2\alpha - \sin 2(\alpha + \mu)}{4(\cos \alpha - \cos(\alpha + \mu))} \right|$$

► Mostra-se que:

$$\cos \phi \approx \frac{1}{2} [\cos \alpha + \cos(\alpha + \mu)]$$

ou seja, quando se considera a comutação ($\mu \neq 0$) o fator de potência visto do lado c.a. ($\cos \phi$) é ainda menor, sendo necessária uma injeção ainda maior de reativos.

► **Circuito equivalente do retificador:**



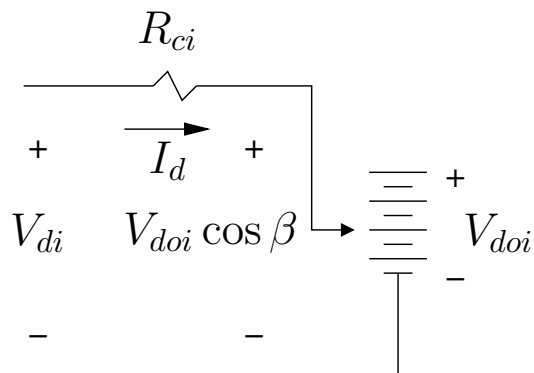
V_{dor} – tensão para ângulo de ignição nulo

V_{dr} – tensão no início da linha c.c.

I_d – corrente no início da linha c.c.

R_{cr} – resistência de comutação, dada por $3\omega L_c/\pi = 3X_c/\pi = 6fL_c$

► **Circuito equivalente do inversor:**



β – ângulo de ignição do inversor ($\beta = \pi - \alpha$)

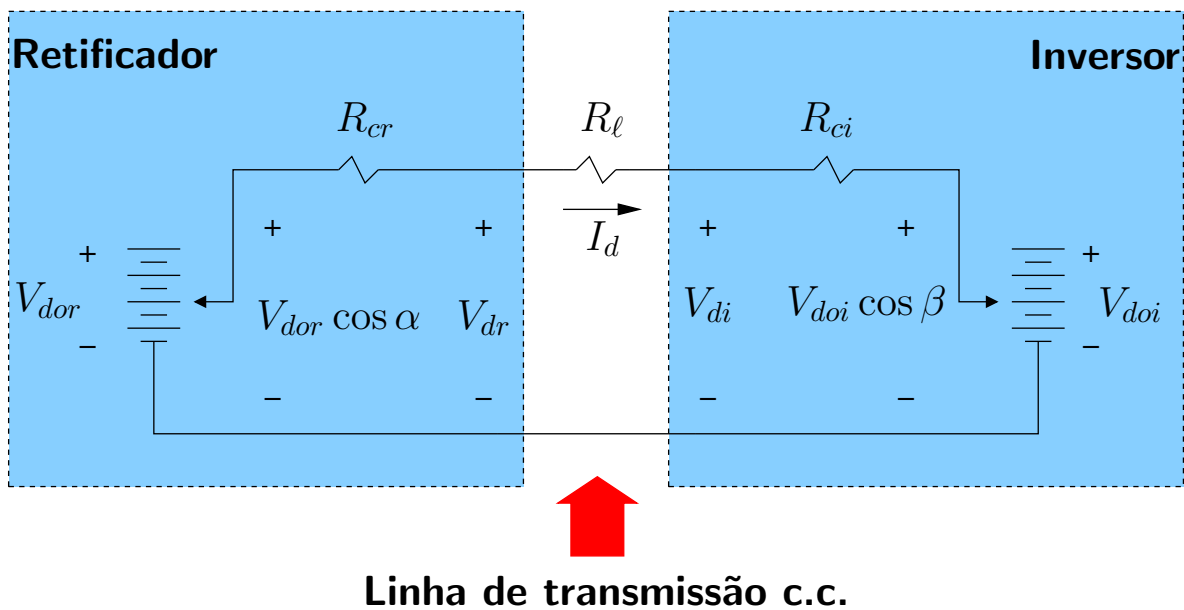
► O fator de potência no lado c.a. do inversor é:

$$\cos \phi \approx \frac{1}{2} [\cos \gamma + \cos (\gamma + \mu)]$$

em que γ é o ângulo de extinção do inversor:

$$\gamma = \pi - \delta$$

► O circuito equivalente do elo c.c. é:



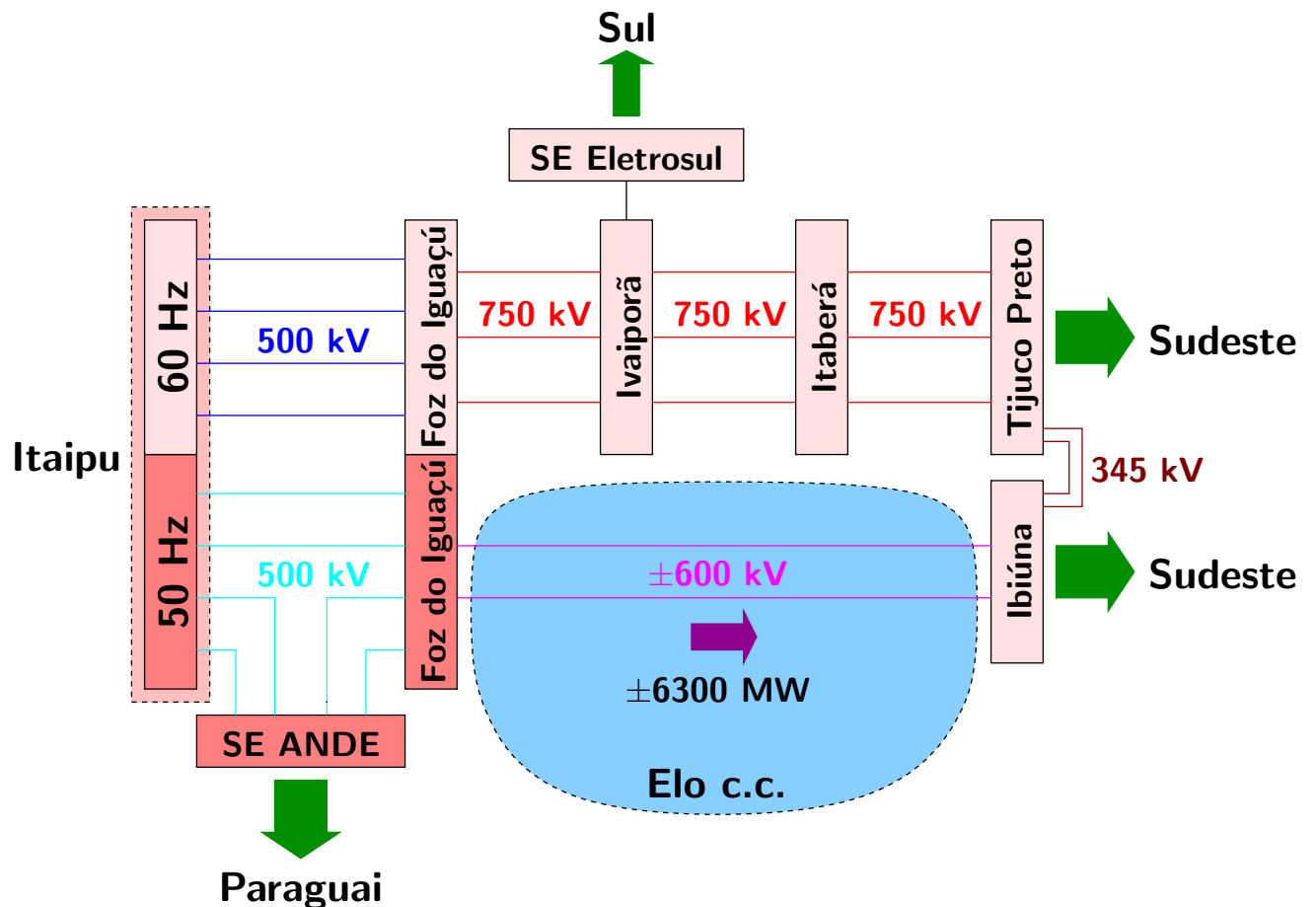
► Controle do elo c.c.:

$$I_d = \frac{V_{dr} - V_{di}}{R_{\ell}} = \frac{V_{dor} \cos \alpha - V_{doi} \cos \beta}{R_{cr} + R_{\ell} + R_{ci}}$$

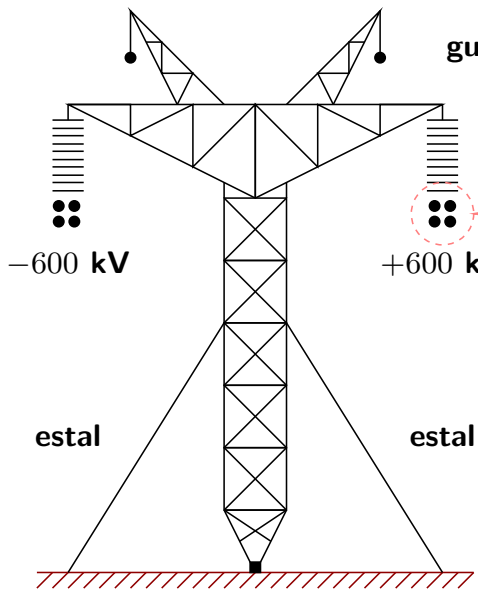
- ▶ Controle **lento** (≈ 5 segundos) \rightarrow mudanças em V_{dor} e V_{doi} através dos taps dos transformadores alimentadores dos conversores.
- ▶ Controle **rápido** (alguns milissegundos) \rightarrow controle dos ângulos de ignição α e β .

8.5 Elo c.c. de Itaipu

- ▶ Configuração:



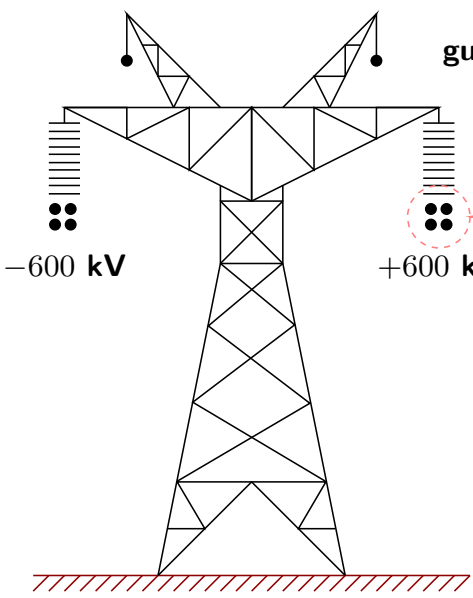
► Torres de transmissão em c.c.:



4 × ACSR 1273 MCM
 $\phi = 34,12 \text{ mm}$
 $d = 457 \text{ mm (entre condutores)}$

linha c.c. bipolar
torre estaiada
(mais simples e leve que torres c.a.)

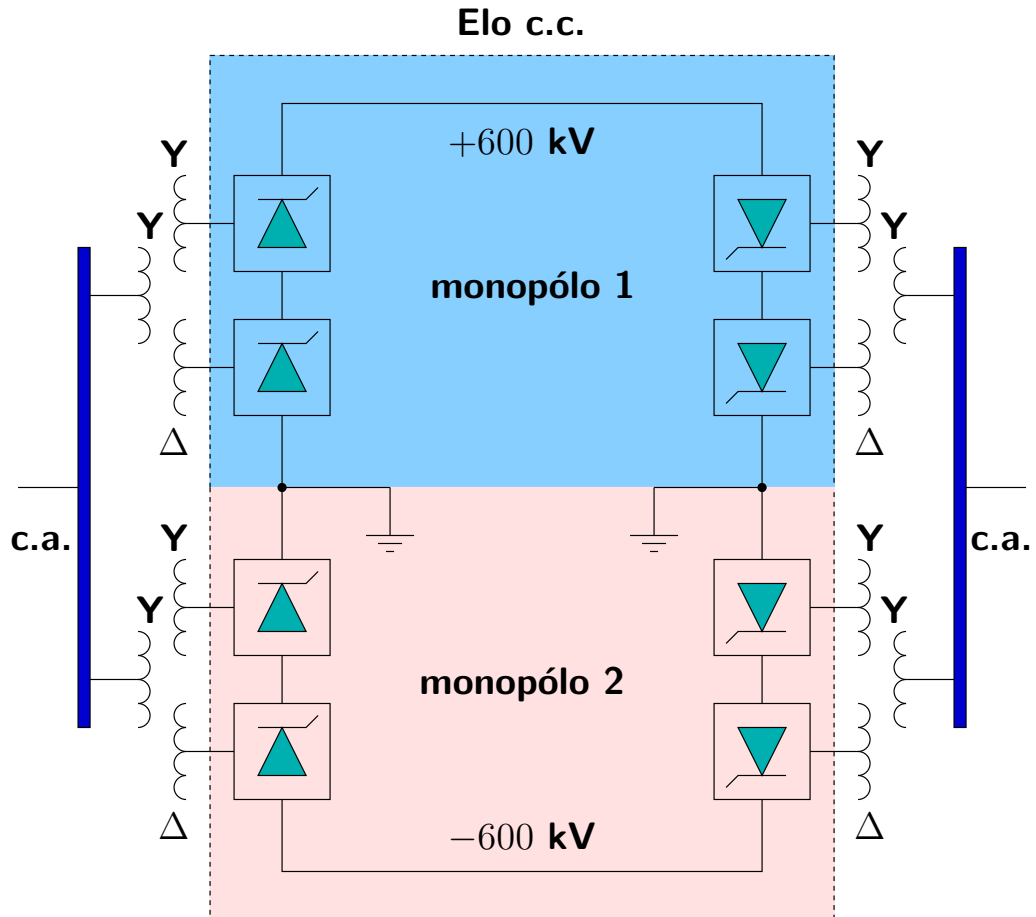
Estaiada



4 × ACSR 1273 MCM
 $\phi = 34,12 \text{ mm}$
 $d = 457 \text{ mm (entre condutores)}$

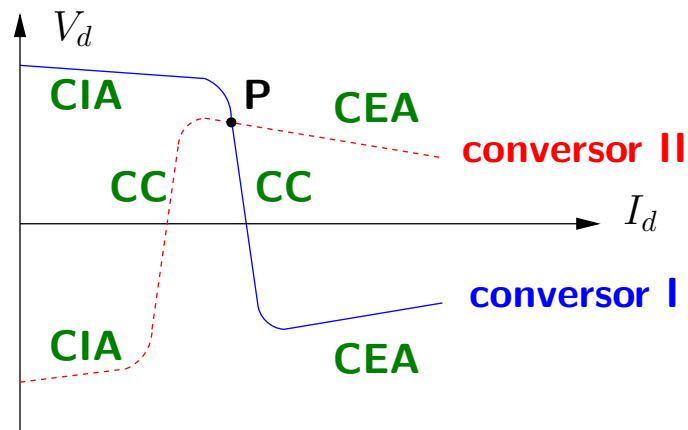
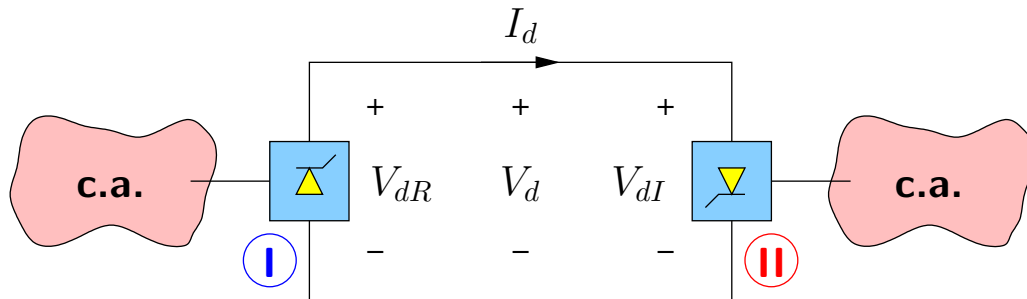
Autoportante

► Sistema bipolar de 12 pulsos:



8.6 Controle de elos c.c.

- ▶ As características de operação dos conversores podem ser representadas através de curvas $[V_d \times I_d]$.



V_d tensão em algum ponto da linha c.c. (por exemplo, no ponto central)

P ponto de operação \Rightarrow pode-se obter os valores das variáveis c.c., como por exemplo α_R , I_d , V_{dR} , etc.

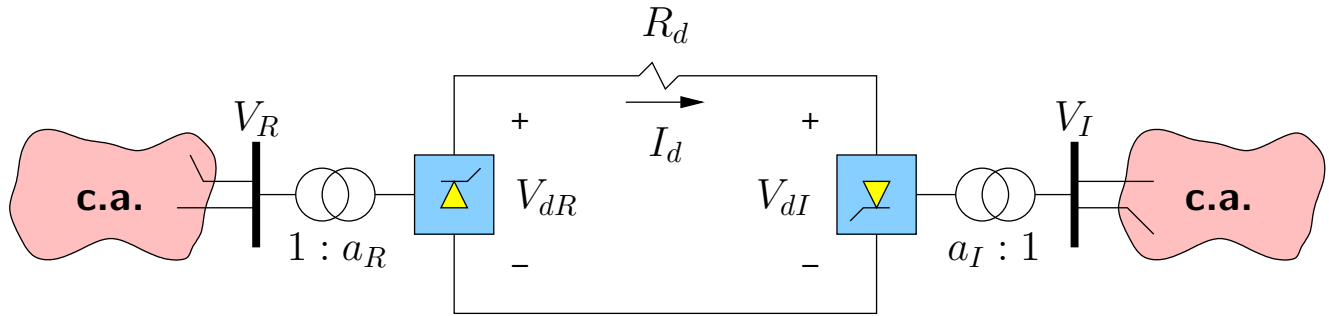
CIA constant ignition angle (mínimo ângulo α_R)

CEA constant extinction angle (mínimo ângulo γ_I)

CC constant current

8.7 Fluxo de carga c.a./c.c.

► Considere o sistema elétrico c.a./c.c. a seguir.



► As seguintes hipóteses simplificadoras são adotadas:

- As tensões no lado c.a. são balanceadas e senoidais
- A operação dos conversores é perfeitamente balanceada
- As tensões e corrente c.c. são constantes (não há ripple)
- Os transformadores conectados aos conversores não apresentam perdas ôhmicas e perdas de magnetização

► Equações no lado do retificador:

$$V_{dR} = \frac{3\sqrt{2}}{\pi} a_R V_R \cos \alpha_R - \frac{3}{\pi} X_c I_d \quad (1)$$

$$P_R = P_{dR} = V_{dR} I_d$$

$$|S_R| = k \frac{3\sqrt{2}}{\pi} a_R V_R I_d \quad (2)$$

$$Q_R = (|S_R|^2 - P_R^2)^{1/2}$$

em que $k \approx 0,995$ (fator de compensação pela existência de overlap).

► Equações no lado do inversor:

$$V_{dI} = \frac{3\sqrt{2}}{\pi} a_I V_I \cos \gamma_I - \frac{3}{\pi} X_c I_d \quad (3)$$

$$P_I = P_{dI} = V_{dI} I_d$$

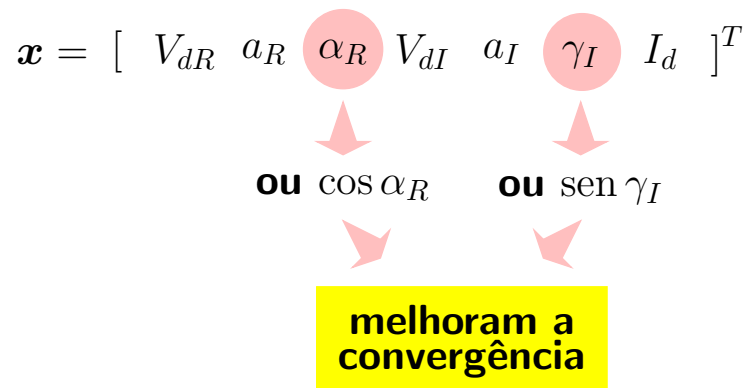
$$|S_I| = k \frac{3\sqrt{2}}{\pi} a_I V_I I_d \quad (4)$$

$$Q_I = (|S_I|^2 - P_I^2)^{1/2}$$

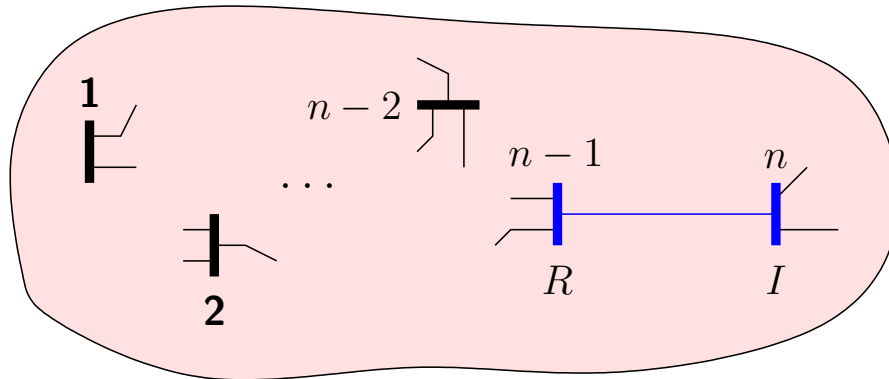
► Equação de relação entre os conversores:

$$V_{dR} = V_{dI} + R_d I_d \quad (5)$$

► O elo c.c. contribui com o aparecimento de 7 variáveis internas:



- Considere uma rede com n barras, sendo que as barras terminais do elo c.c. (R e I) são as duas últimas:



As equações de fluxo de carga são:

$$\begin{aligned}
 \Delta P_1 &= P_1^e - P_1^c(\boldsymbol{\theta}, \mathbf{V}) \\
 \Delta P_2 &= P_2^e - P_2^c(\boldsymbol{\theta}, \mathbf{V}) \\
 &\vdots \\
 \Delta P_{n-2} &= P_{n-2}^e - P_{n-2}^c(\boldsymbol{\theta}, \mathbf{V}) \\
 \Delta P_R &= P_R^e - P_R^c(\boldsymbol{\theta}, \mathbf{V}) - P_R(V_R, V_I, \boldsymbol{x}) \\
 \Delta P_I &= P_I^e - P_I^c(\boldsymbol{\theta}, \mathbf{V}) - P_I(V_R, V_I, \boldsymbol{x}) \\
 &\vdots \\
 \Delta Q_1 &= Q_1^e - Q_1^c(\boldsymbol{\theta}, \mathbf{V}) \\
 \Delta Q_2 &= Q_2^e - Q_2^c(\boldsymbol{\theta}, \mathbf{V}) \\
 &\vdots \\
 \Delta Q_{n-2} &= Q_{n-2}^e - Q_{n-2}^c(\boldsymbol{\theta}, \mathbf{V}) \\
 \Delta Q_R &= Q_R^e - Q_R^c(\boldsymbol{\theta}, \mathbf{V}) - Q_R(V_R, V_I, \boldsymbol{x}) \\
 \Delta Q_I &= Q_I^e - Q_I^c(\boldsymbol{\theta}, \mathbf{V}) - Q_I(V_R, V_I, \boldsymbol{x})
 \end{aligned} \tag{6}$$

- ▶ Somente as equações de fluxo de carga referentes às barras terminais do elo c.c. foram modificadas.
- ▶ Os termos P_R , P_I , Q_R e Q_I são obtidos através das equações (2) e (4).

- ▶ Apareceram 7 novas variáveis no sistema de equações (6), correspondentes às variáveis do elo c.c.

Portanto, são necessárias 7 novas equações que devem ser acrescentadas ao sistema de equações (6).

Estas equações podem ser escritas de forma geral como:

$$\mathbf{R}(V_R, V_I, \mathbf{x}) = \mathbf{0}$$

- ▶ Três dessas equações são (1), (3) e (5), ou seja:

$$V_{dR} - \frac{3\sqrt{2}}{\pi} a_R V_R \cos \alpha_R + \frac{3}{\pi} X_c I_d = 0 \quad (7)$$

$$V_{dI} - \frac{3\sqrt{2}}{\pi} a_I V_I \cos \gamma_I + \frac{3}{\pi} X_c I_d = 0 \quad (8)$$

$$V_{dR} - V_{dI} - R_d I_d = 0 \quad (9)$$

- ▶ As outras 4 equações correspondem a especificações do tipo de controle utilizado:

Modos de controle	Variáveis especificadas			
<i>A</i>	α_R	γ_I	V_{dI}	P_{dI}
<i>B</i>	a_R	γ_I	V_{dI}	P_{dI}
<i>C</i>	α_R	γ_I	a_I	P_{dI}
<i>D</i>	a_R	γ_I	a_I	P_{dI}
<i>E</i>	α_R	γ_I	a_R	P_{dI}
<i>F</i>	α_R	a_I	V_{dI}	P_{dI}
<i>G</i>	α_R	a_I	a_R	P_{dI}
<i>A_I</i>	α_R	γ_I	V_{dI}	I_d
<i>B_I</i>	a_R	γ_I	V_{dI}	I_d
<i>C_I</i>	α_R	γ_I	a_I	I_d
<i>D_I</i>	a_R	γ_I	a_I	I_d
<i>E_I</i>	α_R	γ_I	a_R	I_d
<i>F_I</i>	α_R	a_I	V_{dI}	I_d
<i>G_I</i>	α_R	a_I	a_R	I_d

- ▶ Exemplos de especificações de controles:

- (i) Tap do transformador: $a - a^e = 0$
- (ii) Tensão c.a.: $V_d - V_d^e = 0$
- (iii) Corrente c.c.: $I_d - I_d^e = 0$
- (iv) Ângulos de disparo: $\alpha - \alpha^e = 0$
- (v) Potência c.c. transmitida: $P_d - P_d^e = 0$

- ▶ O modo de controle *A* é o mais comumente utilizado.

- ▶ Os demais são usados se alguma outra variável atinge um de seus limites.

- ▶ O sistema de equações de fluxo de carga c.a./c.c. pelo método de Newton segundo a abordagem **simultânea** é:

$$\begin{array}{|c|} \hline \Delta P \\ \hline \Delta P_t \\ \hline \Delta Q \\ \hline \Delta Q_t \\ \hline \Delta R \\ \hline \end{array} = \begin{array}{|c|c|c|c|c|} \hline & & & & \\ \hline & H & & N & 0 \\ \hline & & & & A \\ \hline & M & & L & 0 \\ \hline & & & & C \\ \hline 0 & 0 & 0 & D & E \\ \hline \end{array} \cdot \begin{array}{|c|} \hline \Delta \theta \\ \hline \Delta \theta_t \\ \hline \Delta V \\ \hline \Delta V_t \\ \hline \Delta x \\ \hline \end{array}$$

em que

$$\begin{aligned}
 A &= \frac{\partial}{\partial x} P_t & D &= \frac{\partial}{\partial V_t} R \\
 C &= \frac{\partial}{\partial x} Q_t & E &= \frac{\partial}{\partial x} R
 \end{aligned}$$

- ▶ As matrizes H , M , N e L formam a matriz Jacobiana do método de Newton convencional.

- ▶ O sistema de equações de fluxo de carga c.a./c.c. pelo método de Newton segundo a abordagem **alternada** é:

$$\begin{array}{|c|} \hline \Delta P \\ \hline \Delta P_t \\ \hline \Delta Q \\ \hline \Delta Q_t \\ \hline \end{array} = \begin{array}{|c|c|} \hline H & N \\ \hline M & L \\ \hline \end{array} \cdot \begin{array}{|c|} \hline \Delta \theta \\ \hline \Delta \theta_t \\ \hline \Delta V \\ \hline \Delta V_t \\ \hline \end{array} \quad (10)$$

$$\boxed{\Delta R} = \boxed{E} \cdot \boxed{\Delta x} \quad (11)$$

- ▶ As equações (10) e (11) são resolvidas alternadamente.
- ▶ Para a resolução de (11) mantém-se V_t e θ_t constantes (obtidos em (10)).
- ▶ Pode-se utilizar também as equações de fluxo de carga pelo método desacoplado rápido:

$$\begin{aligned}
 \Delta P/V &= B' \cdot \Delta \theta \\
 \Delta Q/V &= B'' \cdot \Delta V \\
 \Delta R &= E \cdot \Delta x
 \end{aligned}$$

- ▶ Com base no fato de que o acoplamento entre c.a. e c.c. se dá principalmente através das magnitudes de tensão, pode-se formular o problema como:

$$\Delta P/V = B' \cdot \Delta \theta$$

$$\begin{array}{|c|} \hline \Delta Q/V \\ \hline \Delta Q_t/V_t \\ \hline \Delta R \\ \hline \end{array} = \begin{array}{|c|c|c|} \hline & & 0 \\ \hline B'' & & C'' \\ \hline 0 & D'' & E \\ \hline \end{array} \cdot \begin{array}{|c|} \hline \Delta V \\ \hline \Delta V_t \\ \hline \Delta x \\ \hline \end{array}$$

8.8 Observações

- ▶ Em geral a tolerância de convergência das variáveis c.c. é igual à das variáveis c.a.
- ▶ A fim de permitir a utilização dessas tolerâncias iguais, é necessário definir um sistema por unidade para as variáveis c.c.
- ▶ Tem-se então:

$$V_B^{cc} = V_B^{ca}$$

$$S_B^{cc} = S_B^{ca}$$

- ▶ Para a corrente de base c.c.:

$$S_B^{cc} = S_B^{ca}$$

$$V_B^{cc} I_B^{cc} = \sqrt{3} V_B^{ca} I_B^{ca}$$

⇓

$$I_B^{cc} = \sqrt{3} I_B^{ca}$$

Referências

- ▶ J. Arrillaga, C.P. Arnold, B.J. Harker, **Computer Modelling of Electrical Power Systems**, John Wiley and Sons, 1983. (cap. 6)
- ▶ J.C. Oliveira, A. Oliveira, **Transmissão de energia elétrica em corrente contínua**, curso de extensão, Universidade Federal de Uberlândia, 1985.
- ▶ T. Smed, G. Andersson, G.B. Sheblé, L.L. Grigsby, **A new approach to AC/DC power flow**, IEEE Transactions on Power Systems, v.6, n.3, Aug 1991, pp.1238–1244.
- ▶ J. Arrillaga, C.P. Arnold, **Computer Analysis of Power Systems**, John Wiley and Sons, 1993. (cap. 4).
- ▶ M.E. El-Hawary, **Electrical Power Systems**, IEEE Press, 1995.